

Полимерные органо-неорганические протонпроводящие мембранны на основе сульфированных производных гиперразветвленных полиэфирполиолов

В.В. Шевченко, Н.С. Клименко, А.В. Стрюцкий, А.В. Шевчук, Э.А. Лысенков, М.Я. Вортман, В.В. Давиденко

Институт химии высокомолекулярных соединений НАН Украины
48, Харьковское шоссе, Киев, 02160, Украина

Разработан одностадийный метод синтеза сульфокислотного протонодонорного агента гиперразветвленного строения. Его сочетанием в процессе золь-гель синтеза с α -диалкоксисильным производным олигооксиэтиленуретанмочевины синтезированы гибридные органо-неорганические наноструктурированные протонпроводящие мембранны. Установлена связь между составом, структурой и свойствами полученных мембранны, характеризующихся протонной проводимостью 10^{-5} – 10^{-4} См/см при температуре 100 °C в безводных условиях.

Ключевые слова: органо-неорганический полимерный электролит, гиперразветвленный протонодонор, топливный элемент, протонная проводимость, золь-гель метод.

Топливные элементы, в которых применяются пленочные протонпроводящие полимерные мембранны (ППМ) как электролит, нашли широкое применение в качестве источников электроэнергии в различных устройствах [1–4]. При этом в подавляющем большинстве в качестве ППМ используются перфторированные полимеры типа “Nafion”, содержащие сульфокислотные группы [1–9]. Однако высокая стоимость этих иономеров, необходимость поддержания высокого уровня влагосодержания в процессе эксплуатации, ограниченный верхний температурный предел эксплуатации (90 °C), высокий кроссовер топлива и ряд других недостатков стимулируют поиск новых типов ППМ [1–10].

Одним из перспективных подходов к их созданию является отказ от иономерной природы используемых ППМ. Он основывается на совмещении органической или органо-неорганической полимерной матрицы с протонодонорными агентами [4, 9–13]. В качестве последних используют неорганические соединения – ортофосфорную кислоту [10] и гетерополикислоты [11–13], а также органические соединения, содержащие в своем составе в качестве протонодонорной функции, как правило, сульфокислотную группу [9, 12]. В рамках этого подхода получение новых типов протонодонорных агентов, способных выступать в качестве эффективных допантов при получении ППМ, является одним из перспективных направлений при создании полимерэлектролитных топливных элементов [14–17].

Ранее нами были предложены в качестве таких

допантов сульфосодержащие протонодонорные наночастицы органо-неорганической природы – олигомерные силsesквиоксаны с сульфокислотными группами в органической оболочке силsesквиоксанового ядра [18]. В развитие этого направления, характеризующегося высокой концентрацией сульфокислотных групп в составе протонодонора, нами использованы такие объемнорастущие высокомолекулярные соединения как полимеры гиперразветвленного строения. Данные соединения характеризуются рядом уникальных по сравнению с линейными аналогами особенностями их строения и свойств [19, 20]. Кроме того, наличие большого числа реакционноспособных концевых групп обеспечивает широкие возможности их дальнейшей модификации с перспективой использования в различных высокотехнологичных областях. Одними из наиболее доступных гиперразветвленных полимеров являются гиперразветвленные полиэфирполиолы (ГРП), выпускаемые в опытно-промышленном масштабе фирмой «Perstorp» (Швеция) под маркой Boltorn®. На их основе были сделаны попытки получения ППМ. В одной из них ГРП применяли в сочетании с фосфорной кислотой [10], во второй был синтезирован сульфопроизводный ГРП как протонодонорный дант для формирования ППМ, однако способ его получения характеризуется многостадийностью процесса и низким выходом [21]. Отметим, что соединения гиперразветвленного строения хотя и являются по своей природе и характеристикам олигомерами, однако в литературе за ними закрепилось название гиперразветвленные полимеры [19].

В плане развивающихся нами походов к созданию ППМ, способных к функционированию при температуре выше 100 °C в безводных условиях [22–25], представляет интерес использование таких протонодоноров для синтеза органо-неорганических гибридныхnanostructuredированных ППМ, содержащих в своем составе неводную протонопроводящую фазу [4, 26–33]. В качестве таковой нами использована олигоэтиленоксидная составляющая в составе ППМ, а протонодонорная функция может быть связанной ковалентной связью с полимерной матрицей или находится в качестве допанта [22–25]. Исходя из этого, целью данной работы является разработка метода синтеза сульфокислотного протонодонора на основе ГРП и получение с его применением органо-неорганических nanostructuredированных гибридных ППМ золь-гель методом с неводным механизмом транспорта протона, способных функционировать в безводных условиях при температурах выше 100 °C.

Экспериментальная часть.

Материалы. Циклический ангидрид 2-сульфобензойной кислоты (“Aldrich”), толуилендиизоцианат (смесь 2,4-; 2,6-изомеров в соотношении 80 : 20, Bayer AG), 3-аминопропилтриэтоксисилан (“Aldrich”), фенилтриэтоксисилан (ФТЭС) (“Aldrich”), олигооксиэтиленгликоль ММ 1000 (Aldrich) использованы без дополнительной очистки. Гиперразветвленный алифатический олигоэфирполиол (ГРП), содержащий примерно 32 концевые OH группы (Boltorn®H30) [34], очищали путем переосаждения из ацетона в эфир с последующей сушкой в вакууме при температуре 25–30 °C; содержание OH-групп 14,5 %. Диметилформамид (ДМФА) перегоняли перед использованием.

Синтез гиперразветвленного сульфокислотного протонодонора на основе гиперразветвленного полизифирполиола (ГРП-SO₃H). 2 г (0,0171 г-экв) ГРП растворяли в 8 мл ДМФА и к полученному раствору прибавляли 3,15 г (0,0171 г-экв) циклического ангидрида 2-сульфобензойной кислоты в 2 мл ДМФА. Реакцию проводили при температуре 80–90 °C в токе азота на протяжении 8–10 ч. Контроль реакции (до исчезновения ангидрида) осуществляли методом тонкослойной хроматографии с использованием силикагелевых пластин. В качестве элюента использовали смесь ацетона с гексаном в объемном соотношении 2 : 1 соответственно. По окончании реакции растворитель частично удаляли при пониженном давлении, продукт реакции высаждали в диэтиловый эфир и сущили в вакууме при температуре 65–70 °C на протяжении 6–8 ч. Полученное соединение очищали переосаждением из ДМФА в диэтиловый эфир с последующей сушкой в вакууме в течение 6–8 ч при температуре 65–70 °C до постоянной массы. Выход продукта 94 %. Содержание сульфокислотных групп определяли методом обратного кислотно-основного титрования [35]; найдено – 25,1 %, рассчитано – 26,8 %.

Синтез олигооксиэтиленуретанмочевинного α,ω-диаллоксисилильного прекурсора (ОЭГ-Si). К 3,01 г (0,0045 г-экв) изоцианатного форполимера (ИФП) на основе олигооксиэтиленгликоля (ОЭГ, ММ=1000) и 2,4-; 2,6-толуилендиизоцианата (OH:NCO = 1:2) добавляли 0,99 г (0,0045 г-экв) 3-аминопропилтриэтоксисилана. Реакционную смесь выдерживали при температуре 80 °C при постоянном перемешивании до исчезновения изоцианатных групп (определяли по ИК-спектрам). Полученный продукт растворяли в 2 мл ДМФА и использовали в дальнейших синтезах в виде раствора.

Синтез ППМ на основе ГРП-SO₃H (ППМ-20, ППМ-50 и ППМ-70). К 1,30 г раствора ОЭГ-Si (0,91 г, 0,00051 моль) основного вещества в ДМФА прибавляли 0,61 г (0,00252 моль) ФТЭС в 2 мл ДМФА и гомогенизировали полученную смесь на протяжении 5 мин. Далее в реакционную массу прибавляли раствор 0,38 г (0,00004 моль) ГРП-SO₃H (массовое содержание ГРП-SO₃H составляло 20 % от массы всех реагентов, что отражено в обозначении синтезируемой мембранны ППМ-20 в виде числового индекса) в 2 мл ДМФА с последующим перемешиванием на протяжении 5 мин. В полученный раствор приливали 0,2 мл 0,1 н HCl, обеспечивающего стехиометрическое соотношение воды к этоксильным группам, и перемешивали 3–5 мин. Далее реакционную смесь выливали на тефлоновую подложку, выдерживали 24 ч при комнатной температуре и термообрабатывали 6–8 ч при температуре 60 °C, 2–3 ч при 80 °C и по 1 ч при 100 и 120 °C. Также по аналогичной методике были получены мембранны ППМ-50 и ППМ-70 при массовых соотношениях ОЭГ-Si : ФТЭС : ГРП-SO₃H, равных 3 : 2 : 5 и 3,0 : 2,0 : 11,7 соответственно.

Методы исследования. ¹Н ЯМР-спектры снимали на приборе Varian VXR-400 MHz с использованием в качестве растворителя ДМСО-d₆. ИК-спектры с Фурье преобразованием снимали на спектрофотометре “TENSOR 37” в спектральной области 600–4000 см⁻¹. Термофизические свойства изучали методами термогравиметрии (ТГА) и дифференциальной сканирующей калориметрии (ДСК). Потерю массы и температуру начала разложения определяли, используя прибор Q50 (TA Instruments, США). Образцы исследовали в интервале температур от комнатной до 700 °C со скоростью нагрева 20 °C/мин. в атмосфере воздуха. Термофизические характеристики определяли на приборе Q2000 (TA Instruments, США) на воздухе в интервале температур 90–200 °C со скоростью нагрева 20 °C/мин. Статическую ионообменную ёмкость (СОЕ) полученных полимеров определяли методом обратного титрования [35], а влагопоглощение – по изменению их массы до и после набухания при комнатной температуре.

Ионную проводимость синтезированных мембран определяли методом диэлектрической релаксационной

спектроскопии в температурном интервале 20–100 °С с использованием диэлектрического спектрометра на основе моста переменного тока Р5083 с двухэлектродной ячейкой из нержавеющей стали. Частотный диапазон измерений составлял 0,1 – 100,0 кГц. Перед началом исследования образец прогревали до температуры 100 °С в течение 30 мин. в токе азота для удаления влаги, сорбированной из воздуха и стабилизации толщины мембранны.

Проводимость синтезированных ППМ рассчитывали по формуле:

$$\sigma_{dc} = d/(S \cdot R_{dc}), \quad (1)$$

где: σ_{dc} – проводимость постоянного тока (См/см); S – площадь образца (см^2); d – толщина образца (см) и R_{dc} – объёмное сопротивление при постоянном токе (Ом).

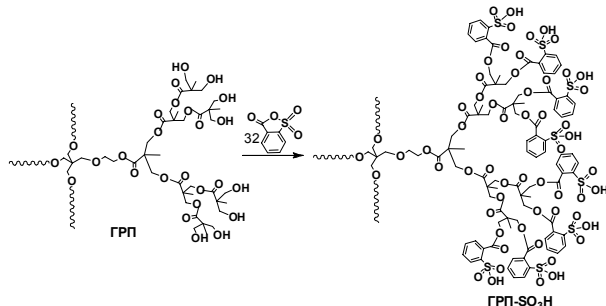
Результаты исследования и их обсуждение.

Ранее нами был разработан метод синтеза сульфокислотных протонодонорных агентов органо-неорганической природы исходя из октаэдрального олигосилsesквиоксана, содержащего в органической оболочке 8 аминогрупп [18]. Его реакцией с циклическим ангидридом 2-сульфобензойной кислоты получены наночастицы с различным содержанием сульфокислотных групп. Такие соединения представляют интерес в качестве протонодонорных допантов для полимерных электролитов, получаемых сочетанием протонодорного агента с полимерной матрицей. Этот интерес основывается на возможности получения наночастиц, в т. ч. и реакционноспособных, с высокой и регулируемой плотностью протонодонорных групп. При этом возможно как связывание такого протонодонорного агента с полимерной матрицей ковалентной связью с образованием по сути иономера сшитого строения, так и нахождение его в виде допанта. Это обстоятельство позволяет регулировать характер размещения протонодора в мемbrane и регулировать её свойства [4].

В попытке увеличения плотности протонодонорных групп в допанте нами обращено внимание на

гиперразветвленные полимеры, несущие на внешней оболочке различные реакционноспособные группы. В этом качестве на данном этапе использовали ГРП второй генерации на основе 2,2-диметилолпропионовой кислоты [34]. Наличие около 32 гидроксильных групп предоставляет возможность помимо регулирования плотности протонодонорных групп, т. е. получения реакционноспособных протонодонорных агентов, вводить и другие группы и фрагменты с целью расширения их функциональных возможностей. В настоящей работе этот ГРП использовали для получения сульфокислотного протонодонорного агента с максимально возможной плотностью сульфокислотных групп. В качестве протонодонорного допанта его использовали для получения золь-гель методом органо-неорганической гибридной ППМ, способной к транспорту протонов в безводных условиях.

Синтез сульфокислотного производного ГРП- SO_3H основывался на взаимодействии ГРП с циклическим ангидридом 2-сульфобензойной кислоты при соотношении $\text{OH} : \text{ангидрид} = 1 : 1$:



Полученное соединение представляет собой прозрачно-коричневое вязкое вещество, растворимое в воде, диметилформамиде, диметилсульфоксида и не растворимое в ацетоне, эфире, спиртах, алифатических и ароматических растворителях. Близость рассчитанной и экспериментально определенной величины содержания SO_3H групп свидетельствует о нахождении примерно 32 сульфокислотных групп в синтезированном соединении.

В ИК-спектре ГРП- SO_3H (рис. 1) присутствуют полосы поглощения валентных колебаний S=O связей SO_3H -групп в области 980–1225 cm^{-1} , C=O связей сложноэфирного фрагмента при 1720 cm^{-1} , C-C связей

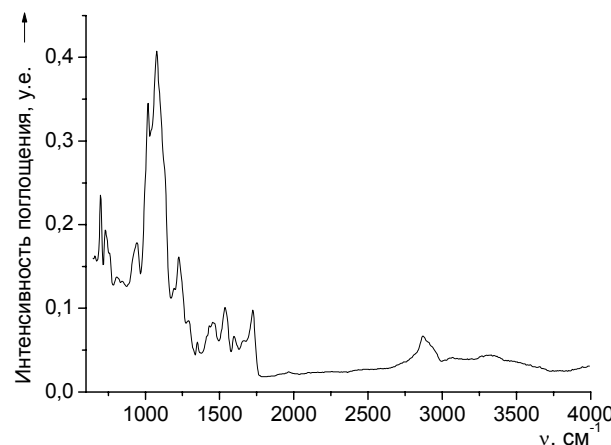


Рис. 1. ИК-спектр ГРП- SO_3H

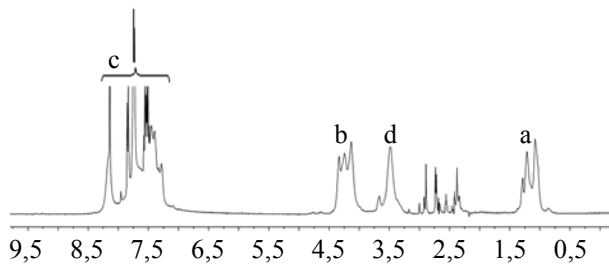


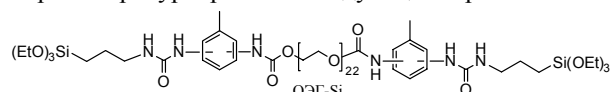
Рис. 2. H^1 ЯМР-спектр ГРП- SO_3H

ароматических колец при 1500–1600 см^{-1} , C–H связей 2869 см^{-1} CH₂-групп [36, 37].

В H¹ ЯМР-спектре (рис. 2) наблюдаются сигналы протонов метильных групп (a) в интервале 1,0–1,4 м.д., CH₂-групп (b) в интервале 4,0–4,5 м.д., протонов ароматических ядер (c) при 7,0–8,4 м.д. и протонов сульфокислотных групп (d) при 3,5 м.д. [37].

Синтезированное соединение характеризуется высокой плотностью протонодонорных сульфокислотных групп. Такое строение обеспечивает термодинамическое средство к полярным составляющим дифильных полимеров, применяемых при создании протонообменных мембран [38]. Последнее может способствовать формированию необходимых протонопроводящих каналов в полимерной матрице, а олигомерная природа протонодонора препятствует его диффузии из мембранны [13].

Для формирования полимерной матрицы в предложенном нами подходе к созданию ППМ с безводным механизмом проводимости используются α, ω -диалкоксисилильные производные олигооксиэтиленуретаночевины ОЭГ-Si [22–25, 39]. Синтез их основывается на реакции изоцианатного форполимера, полученного взаимодействием ОЭГ и двухкратного мольного избытка толуилендиизоцианата, с 3-аминопропилтриэтоксисиланом при соотношении NH₂/NCO=1. Полученный сегментированный олигомерный прекурсор имеет следующее строение:



Наличие алкоксисилильных групп в составе данного прекурсора обеспечивает его способность к золь-гель превращениям. Олигооксиэтиленовая составляющая придаёт ему пленкообразующие свойства и способность к сольватации и транспорту протонов в безводных условиях [26, 28, 29]. Перенос протона в такой системе связан с сегментальной подвижностью олигооксиэтиленовых фрагментов по механизму Гrottусса (Grotthus) [26, 28, 29]. Наличие в составе прекурсора ОЭГ-Si уретаномочевинных жестких сегментов, способных к самоассоциации, может способствовать его структурированию в процессе золь-гель синтеза с формированием упорядоченной олигоэфирной протонопроводящей фазы [9], что является одним из основных условий обеспечения высокого уровня протонной проводимости [9, 22–25, 39–41].

Таблица 1. Физико-химические свойства ППМ

ППМ	СОЕ, мэкв/г		$W, \%$	$T_g, ^\circ\text{C}$	$\alpha(\text{SiO}_{1,5}), \%$	$\sigma_{ds}, \text{См}/\text{см}$ при $T = 100^\circ\text{C}$
	вычислено	найдено				
ОЭГ-Si-М	-	-	21	-23,6	12,0	-
ППМ-20	0,86	0,77	22	-2,4	12,3	$1,85 \cdot 10^{-5}$
ППМ-50	1,96	1,80	117	23,4	7,0	$1,67 \cdot 10^{-4}$
ППМ-70	2,59	2,46	-	38,1	3,9	-

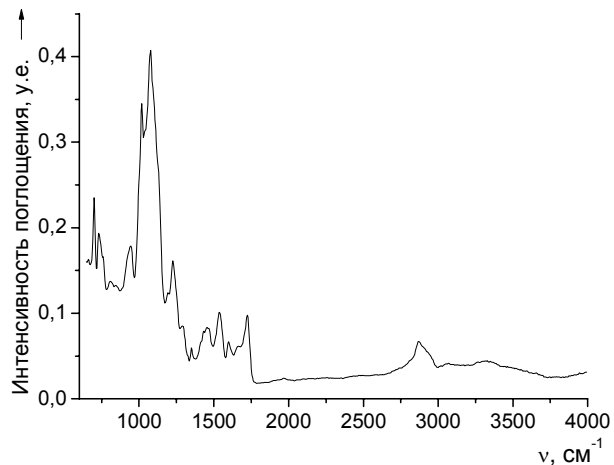


Рис. 3. ИК-спектр ППМ-20

Поскольку ОЭГ-Si обладает недостаточными пленкообразующими свойствами, формирование полимерной матрицы проводили его совместной гидролитической конденсацией с ФТЭС. Помимо улучшения пленкообразующей способности использование ФТЭС преследовало цель регулирования гидрофобности, механической прочности и термической стабильности. Оптимальными механическими свойствами обладает матричный полимер состава ОЭГ-Si : ФТЭС = 3 : 2 по массе (ОЭГ-Si-М), который и был использован для введения допанта.

Золь-гель процесс синтеза ППМ проводили с использованием 0,1 н HCl, обеспечивающей стехиометрическое соотношение воды к этоксильным группам. Следует отметить, что использование кислого катализатора в золь-гель синтезе способствует формированию слабо спицких линейных полимерных кластеров, благоприятных для протонного переноса, в то время как в основных условиях формируются высокоразветвленные полимерные кластеры благодаря быстрому гидролизу алкоксисилильных прекурсоров, препятствующие процессу протонного переноса [42].

Допант ГРП-SO₃H в состав матричного полимера вводили в количестве 20, 50 и 70 % от массы всех реагентов на стадии смешения исходных алкоксисилильных прекурсоров в процессе золь-гель синтеза с получением протонопроводящих мембран ППМ-20, ППМ-50 и ППМ-70 соответственно.

В конденсированном состоянии ППМ-20 и ППМ-50, содержащие соответственно 20 и 50 % мас. ГРП-SO₃H, являются гибкими, прозрачными пленками, нерасстро-

римыми в органических растворителях, разбавленных растворах кислот и щёлочей. Однако увеличение массового содержания ГРП-SO₃H в ППМ до 70 % (ППМ-70) приводит к получению пленок с низкой механической прочностью. Последнее объясняется недостаточным содержанием неорганической составляющей в мемbrane (табл. 1). Роль неорганической составляющей в органо-неорганических ППМ связана также с повышением термостабильности ППМ и свойством удерживать воду при температуре выше 100 °C [4–7].

ИК-спектры синтезированных ППМ идентичны. В ИК-спектре ППМ-20 (рис. 3) присутствуют полосы поглощения, соответствующие валентным колебаниям C=O- и NH-групп уретанового и амидного фрагментов с максимумами при 1720 и 3300 см⁻¹ соответственно, полосы поглощения ароматических колец при 1500–1600 см⁻¹, а также полосы валентных колебаний Si–O–Si связей силсесквиоксанового каркаса в области 1000–1160 см⁻¹ [36, 37]. Полосы поглощения валентных колебаний SO₃H-групп находятся в интервале 1150–1210 см⁻¹.

По данным ТГА (рис. 4) процесс термоокислительной деструкции для образцов ППМ-20, ППМ-50 и ППМ-70 наблюдается при температуре 270, 260 и 254 °C с потерями масс 5,6; 6,1 и 8,2 % соответственно. Увеличение потерь масс с увеличением содержания допанта обусловлено повышением содержания сорбированной воды из воздуха ввиду увеличения СОЕ ППМ (табл. 1).

Согласно данным ДСК (рис. 5), синтезированные ППМ характеризуются аморфной структурой с одной температурой стеклования (T_g) (табл. 1). При увеличении содержания допанта в составе ППМ, несмотря на уменьшение содержания неорганического компонента (табл. 1), наблюдается повышение T_g , что, вероятно, обусловлено ионным взаимодействием вводимого допанта.

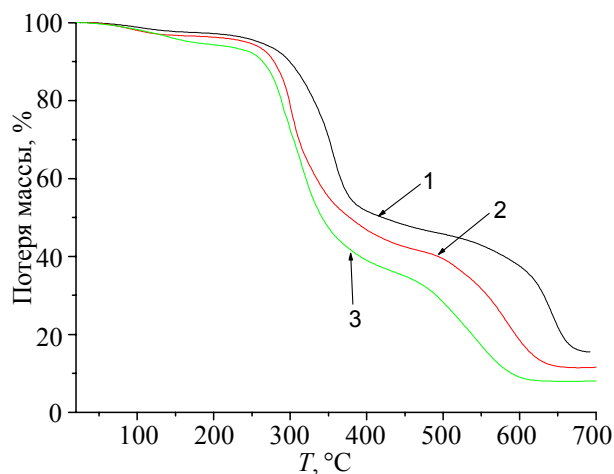


Рис. 4. Термогравиметрический анализ: 1 – ППМ-20; 2 – ППМ-50 и 3 – ППМ-70

В табл. 1 представлены физико-химические свойства ППМ. Согласно приведенным данным, с увеличением содержания допанта наблюдается повышение значения СОЕ, а учитывая ионную природу допанта и увеличение влагопоглощения. Показатель СОЕ эквивалентен количеству носителей заряда в ППМ, а свойство влагопоглощения дает возможность использования данного типа ППМ также и во влажных условиях. Повышение содержания ГРП-SO₃H, равносильное снижению силсесквиоксановой составляющей ППМ (ω), приводит к заметному повышению T_g . Этот факт можно рассматривать как способность ГРП-SO₃H совмещаться с протонпроводящей олигоэтиленоксидной средой. Хотя транспорт протона в полученных ППМ связан с сегментальной подвижностью олигоэтиленоксидной составляющей, которая, судя по величине T_g , выше для ППМ-20, но в полученных мембранных определяющим фактором является концентрация носителей заряда (величина СОЕ) – повышение их концентрации более чем в 2 раза приводит к увеличению протонной проводимости в безводных условиях практически на порядок (ППМ-50).

На рис. 6 приведены зависимости протонной проводимости (σ_{dc}) полученных мембранных от температуры (в табл. 1 приведены значения σ_{dc} при температуре 100 °C).

Повышение проводимости с возрастанием температуры указывает на ионный тип проводимости [43]. Температурные зависимости протонной проводимости для синтезированных мембранных в «аррениусовых» координатах (рис. 6) имеют нелинейный вид и описываются уравнением Вогеля–Таммана–Фальчера (ВТФ), связывающего механизм протонного переноса с сегментальной подвижностью полимерных цепей [44]:

$$\sigma_{dc} = \sigma_0 \exp\left(-\frac{E_A}{k \cdot (T - T_0)}\right), \quad (2)$$

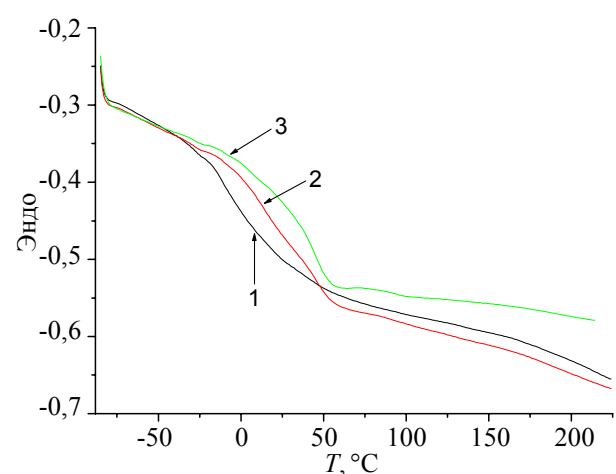


Рис. 5. Температурная зависимость теплового потока: 1 – ППМ-20; 2 – ППМ-50 и 3 – ППМ-70

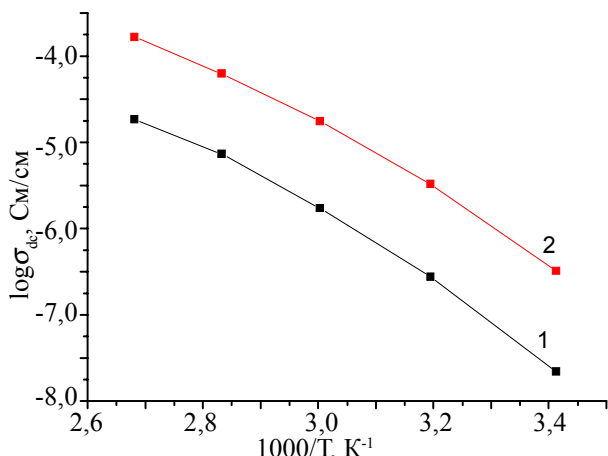


Рис. 6. Температурная зависимость проводимости синтезированных ППМ: 1 – ППМ-20 и 2 – ППМ-50

где: E_A – энергия псевдоактивации протонного переноса; T_o – температура Вогеля (температура такого состояния полимера, в котором доля свободного объема равна нулю); σ_0 – проводимость при постоянном токе при условии $T \rightarrow T_o$; k – постоянная Больцмана. Параметры уравнения ВТФ для синтезированных мембран приведены в табл. 2.

Параметр E_A является формальной величиной, характеризующей энергетический барьер вращения сегментов полимерных цепей, от подвижности которых зависит величина проводимости. Параметры T_o и σ_0 также формальны и определяются путем аппроксимации уравнения ВТФ по экспериментальным данным [45]. Мембрана ППМ-50, несмотря на ее большее значение энергии псевдоактивации протонного переноса (E_A) (табл. 2), характеризуется большим уровнем

Таблица 2. Параметры уравнения ВТФ

ППМ	$\sigma_0, \text{См}/\text{см}$	$E_A, \text{мэВ}$	$T_o, \text{К}$
ППМ-20	$0,05 \cdot 10^{-5}$	120	195
ППМ-50	3,00	169	172

проводимости при температуре 100°C ($1,67 \cdot 10^{-4} \text{См}/\text{см}$, табл. 1) в сравнении с ППМ-20 ($1,85 \cdot 10^{-5} \text{См}/\text{см}$, табл. 1). Последнее объясняется большей величиной СОЕ мембранны ППМ-50 в сравнении с ППМ-20 (1,80 против 0,77 мэвк/г, табл. 1).

Следует отметить, что уровень проводимости синтезированных ППМ в безводных условиях сопоставим с таковым гелеобразных олигоэтиленоксидных электролитов (10^{-8} – $10^{-4} \text{См}/\text{см}$ при $T=80$ – 90°C) [28, 29] и ниже на порядок по сравнению с композитной мембраной на основе Nafion 117 и сульфированного POSS ($(0,5$ – $4,0) \cdot 10^{-5} \text{ См}/\text{см}$ при $T=100$ – 120°C) [14].

Таким образом, разработан метод синтеза нового сульфокислотного протонодонора на основе гиперразветвленного полиэфирполиола, который далее использовали в качестве допанта при золь-гель синтезе органо-неорганической ППМ с безводным механизмом проводимости. В качестве матрицы использовали продукт совместной гидролитической конденсации олиго(оксиэтилен)содержащего прекурсора и фенилтриэтоксисилана. Показано, что увеличение содержания допанта в составе ППМ при некотором уменьшении термической стабильности приводит к увеличению значений СОЕ, влагопоглощения, температуры стеклования и протонной проводимости. Проводимость синтезированных ППМ составляет 10^{-5} – $10^{-4} \text{ См}/\text{см}$ при $T=100^\circ\text{C}$ в безводных условиях в атмосфере сухого азота.

Литература

1. Добровольский Ю.А., Волков Е.В., Писарева А.В. и др. // Рос. хим. журн. (Журн. Рос. хим. об-ва им. Д.И. Менделеева). - 2006. - **50**, №6. - С. 95-102.
2. Ярославцев А.Б., Добровольский Ю.А., Шаглаева Н.С. и др. // Успехи химии. - 2012. - **81**, №3. - С. 191-220.
3. Wang Y., Chen K.S., Mishler J. et al. // Appl. Energ. - 2011. - **88**, №4. - P. 981-1007.
4. Shevchenko V.V., Stryutskii A.V., Klimentko N.S. // Theor. Exp. Chem. - 2011. - **47**, № 2. - P. 67-92.
5. Deluca N.W., Elabd Y.A. // J. Polym. Sci. B Polym. Phys. - 2006. - **44**, №16. - P. 2201-2225.
6. Ye G., Hayden C.A., Goward G.R. // Macromolecules. - 2007. - **40**, №5. - P. 1529-1537.
7. Klein L.C., Daico Y., Aparicio M. et al. // Polymer. - 2005. - **46**, №12. - P. 4504-4509.
8. Jeske M., Soltmann C., Ellenberg C. et al. // Fuel Cells. - 2007. - **7**, №1. - P. 40-46.
9. Michau M., Barboiu M. // J. Mater. Chem. - 2009. - **19**, №34. - P. 6124-6131.
10. Zou J.H., Zhao Y.B., Shi W.F. // J. Membr. Sci. - 2004. - **245**, №1-2. - P. 35-40.
11. Honma I., Nomura S., Nacajima H. // J. Membr. Sci. - 2001. - **185**, №1. - P. 83-94.
12. Thangamuthu R., Lin C.W. // J. Power Sourc. - 2005. - **150**. - P. 48-56.
13. Honma I., Takeda Y., Bae J.M. // Solid State Ionics. - 1999. - **120**, №1/4. - P. 255-264.
14. Subianto S., Mistry M.K., Choudhury N.R. et al. // Appl. Mater. Interfaces. - 2009. - **1**, №6. - P. 1173-1182.
15. Hartmann-Thompson C., Merrington A., Carver P.I. et al. // J. Appl. Polym. Sci. - 2008. - **110**, №958. - P. 958-974.
16. Decker B., Hartmann-Thompson C., Carver P.I. et al. // Chem. Mater. - 2010. - **22**, №3. - P. 942-948.
17. Choi J., Lee K.M., Wycisk R. et al. // J. Electrochem. Soc. - 2010. - **157**, №6. - P. B914-B919.
18. Шевченко В.В., Близнюк В.Н., Стрюцкий А.В., Шевчук А.В., Клименко Н.С. // Доп. НАН України. - 2012. - №1 - С. 158-163.

19. Peleshanko S., Tsukruk V.V. // *Prog. Polym. Sci.* - 2008. - **33**, №5. - P. 523-580.
20. McKee M.G., Unal S., Wilkes G.L. et al. // *Prog. Polym. Sci.* 2005. - **30**, №5. - P. 507-539.
21. Takahito I., Takahiro S., Yuki T. // *Electrochim. Acta*. - 2010. - **55**, №4. - P. 1419-1424.
22. Шевченко В.В., Клименко Н.С., Стрюцкий А.В., Лысенков Э.А., Вортман М.Я. // Укр. хим. журн. - 2011. - **77**, № 10. - С. 120-126.
23. Шевченко В.В., Стрюцкий А.В., Лысенков Э.А., Золотарев А.Р., Клименко Н.С. // Укр. хим. журн. - 2010. - **76**, №11. - С. 58-63.
24. Стрюцкий А.В., Лысенков Э.А., Гуменная М.А., Золотарев А.Р., Вортман М.Я., Клименко Н.С., Шевченко В.В. // Полімер. журн. - 2010. - **32**, №5. - С. 383-387.
25. Шевченко В.В., Клименко Н.С., Стрюцкий А.В., Лысенков Э.А., Вортман М.Я., Рудаков В.М. // Укр. хим. журн. - 2011. - **77**, №1. - С. 66-70.
26. Ghosh B.D., Lott K.F., Ritchie J.E. // *Chem. Mater.* - 2006. - **18**, №2. - P. 504-509.
27. Barker R.E. // *Pure & Appl. Chem.* - 1976. - **46**, №2-4. - P. 157-170.
28. Ghosh B.D., Lott K.F., Ritchie J.E. // *Chem. Mater.* - 2005. - **17**, №3. - P. 661-669.
29. Lott K.F., Ghosh B.D., Ritchie J.E. // *J. Electrochem. Soc.* - 2006. - **153**, №11. - P. 2044-2048.
30. Ghosh B.D., Ritchie J.E. // *Chem. Mater.* - 2010. - **22**, №4 - P. 1483-1491.
31. Ritchie J.E., Crisp J.A. // *Anal. Chim. Acta*. - 2003. - **496**, №1-2. - P. 65-71.
32. Lott K.F., Ghosh B.D., Ritchie J.E. // *Electrochim. Solid State Lett.* - 2005. - **8**, №10. - P. 513-515.
33. Kreuer K.D., Paddison S.J., Spoghr E. et al. // *Chem. Rev.* - 2004. - **104**, №10. - P. 4637-4678.
34. Magnusson H., Malmstrom E., Hult A. // *Macromolecules*. - 2000. - **33**, №8. - P. 3099-3104.
35. Kim D.S., Park H.B., Rhim J.W. et al. // *Solid State Ionics*. - 2005. - **176**, №1-2. - P. 117-126.
36. Беллами Л. Инфракрасные спектры сложных молекул. - М.: Изд-во иностр. л-ры, 1963. - С. 591.
37. Преч Э., Бюльманн Ф., Аффольтер К. Определение строения органических соединений. Таблицы спектральных данных - М.: Мир, 2006. - С. 438.
38. Королев Г.В., Бубнова М.Л. // Высокомолек. соединения. Сер. С. - 2007. - **49**, №7. - С. 1357-1388.
39. Шевченко В.В., Стрюцкий А.В., Гуменная М.А., Лысенков Э.А., Клименко Н.С. // Доп. НАН України. - 2010. - №8 - С. 157-162.
40. Park M.J., Balsara N.P. // *Macromolecules*. - 2010. - **43**, № 1. - P. 292-298.
41. Hou J., Li J., Madsen L.A. // *Macromolecules*. - 2010. - **43**, № 1. - P. 347-353.
42. Nagarale R.K., Gohil G.S., Shashi V.K. et al. // *Macromolecules*. - 2004. - **37**, № 26. - P. 10023-10030.
43. Kyritsis A., Pissis P., Grammatikakis J. // *J. Polymer Sci. B Polymer Phys.* - 1995. - **33**, №12. - P. 1737-1750.
44. Gray F.M. Solid Polymer Electrolytes: Fundamentals and Technological Applications. - New York: VCH Publishers, Inc, 1991. - P. 245.
45. Migahed M. D., Ahmed M. T., Kotp A. E. // *J. Macromol. Sci. Phys.* - 2005. - **44**, №1. - P. 43-53.

Поступила в редакцию 3 декабря 2012 г.

Полімерні органо-неорганічні протонпровідні мембрани на основі сульфованих похідних гіперрозгалужених поліестерполіолів

В.В. Шевченко, Н.С. Клименко, О.В. Стрюцький, О.В. Шевчук, Е.А. Лисенков, М.Я. Вортман, В.В. Давиденко

Інститут хімії високомолекулярних сполук НАН України
48, Харківське шосе, Київ, 02160, Україна

Розроблено одностадійний метод синтезу сульфокислотного протонодорного агента гіперрозгалуженої будови. Його поєднанням у процесі золь-гель синтезу з α, ω -діалкоксисилільним похідним олігооксіетиленуретаносечовини синтезовані гібридні органо-неорганічні наноструктуровані протонпровідні мембрани. Встановлено зв'язок між складом, структурою та властивостями отриманих мембран, які характеризуються протонною провідністю 10^5 – 10^4 См/см за температури 100 °C за безводних умов.

Ключові слова: органо-неорганічний полімерний електроліт, гіперрозгалужений протонодонор, паливний елемент, протонна провідність, золь-гель метод.

Polymeric organic-inorganic proton conducting membranes based on sulfonated derivatives of hyperbranched polyesterylpolyols

V.V. Shevchenko, N.S. Klymenko, A.V. Stryutsky, A.V. Shevchuk, E.A. Lysenkov, M.Y. Vortman, V.V. Davydenko

Institute of Macromolecular Chemistry NAS of Ukraine
48, Kharkivske shause, Kyiv, 02160, Ukraine

One-step method of synthesis of sulfonate proton-donor agent of hyperbranched structure was developed. Hybrid organic-inorganic nanostructured proton conducting membranes were synthesized via combination of proton-donor agent with α, ω -dialkoxysilane derivative of oligooxyethyleneurethaneurea during the sol-gel synthesis. The relationships between the composition, structure and properties of the obtained membranes which are characterized by proton conductivity of 10^5 – 10^4 S/cm at 100 °C under anhydrous conditions was established.

Key words: organic-inorganic polymeric electrolyte, hyperbranched proton-donor, fuel cell, proton conductivity, sol-gel method.